

РАЙОНИРОВАНИЕ ТЕРРИТОРИИ ПО СТЕПЕНИ ОПОЛЗНЕВОЙ ОПАСНОСТИ С ИСПОЛЬЗОВАНИЕМ ДЗЗ

Виляев $A.B.^2$, Жантаев Ж.Ш. 1 , Бреусов $H.\Gamma^1$., Стихарный $A.\Pi.^2$

АО "Национальный центр космических исследований и технологий" ПТОО «Институт ионосферы»², Республика Казахстан, Алматы,

vilayev@gmail.com



Оценка территории на развитие оползневых процессов сейсмического генезиса

ИСХОДНЫЕ ДАННЫЕ:

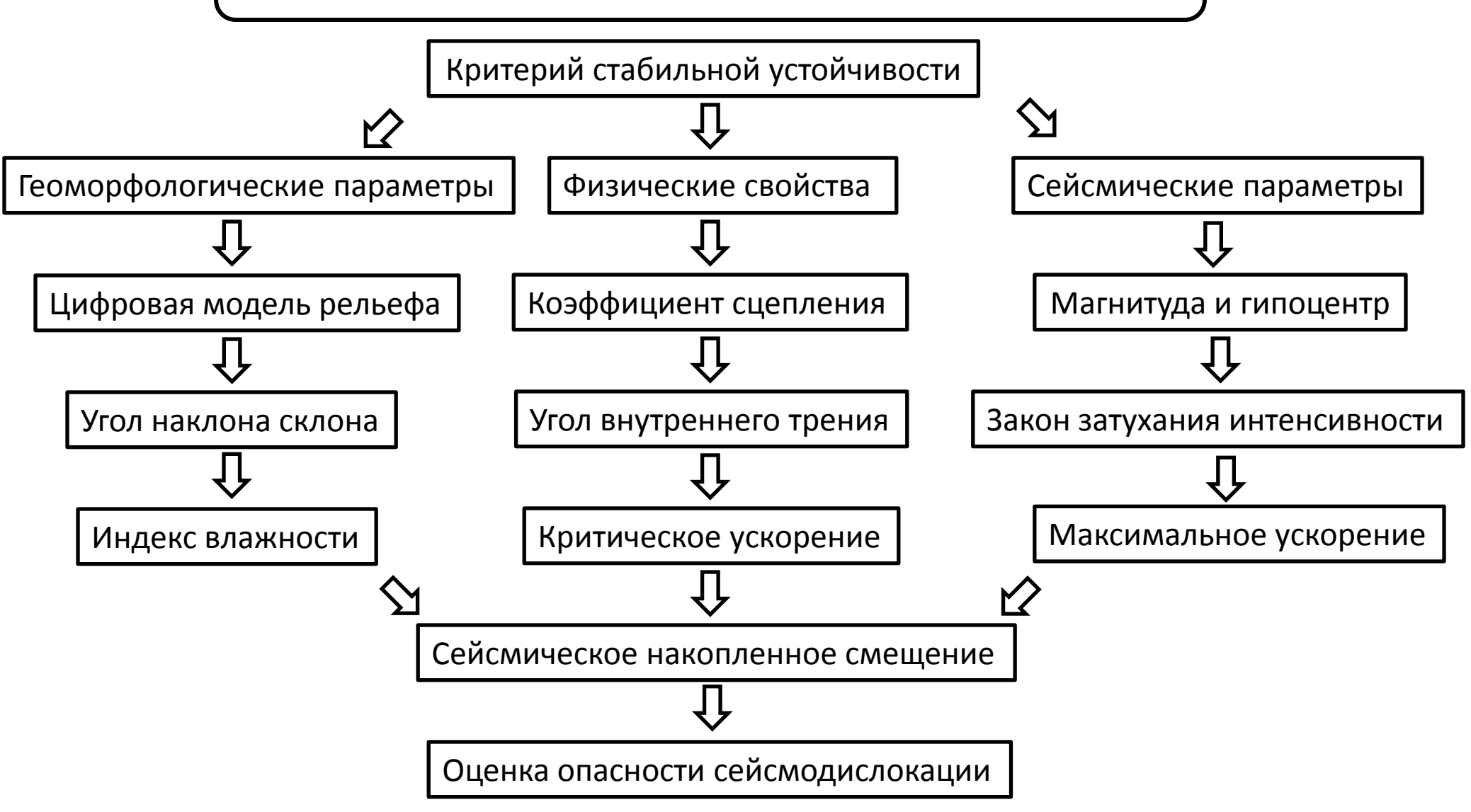
- ЦИФРОВАЯ МОДЕЛЬ РЕЛЬЕФА
- ГЕОЛОГИЧЕСКИЙ СОСТАВ ПОРОД
- ГЕОТЕХНИЧЕСКИЕ ДАННЫЕ
- СЕЙСМИЧЕСКИЕ ДАННЫЕ

МЕТОДОЛОГИЯ:

- МОДЕЛИРОВАНИЕ ОПОЛЗНЯ ПЛОСКИМ НАКЛОННЫМ СЛОЕМ
- ВЫЧИСЛЕНИЕ КОСЕЙСМИЧЕСКИХ СМЕЩЕНИЙ ПО NEWMARK

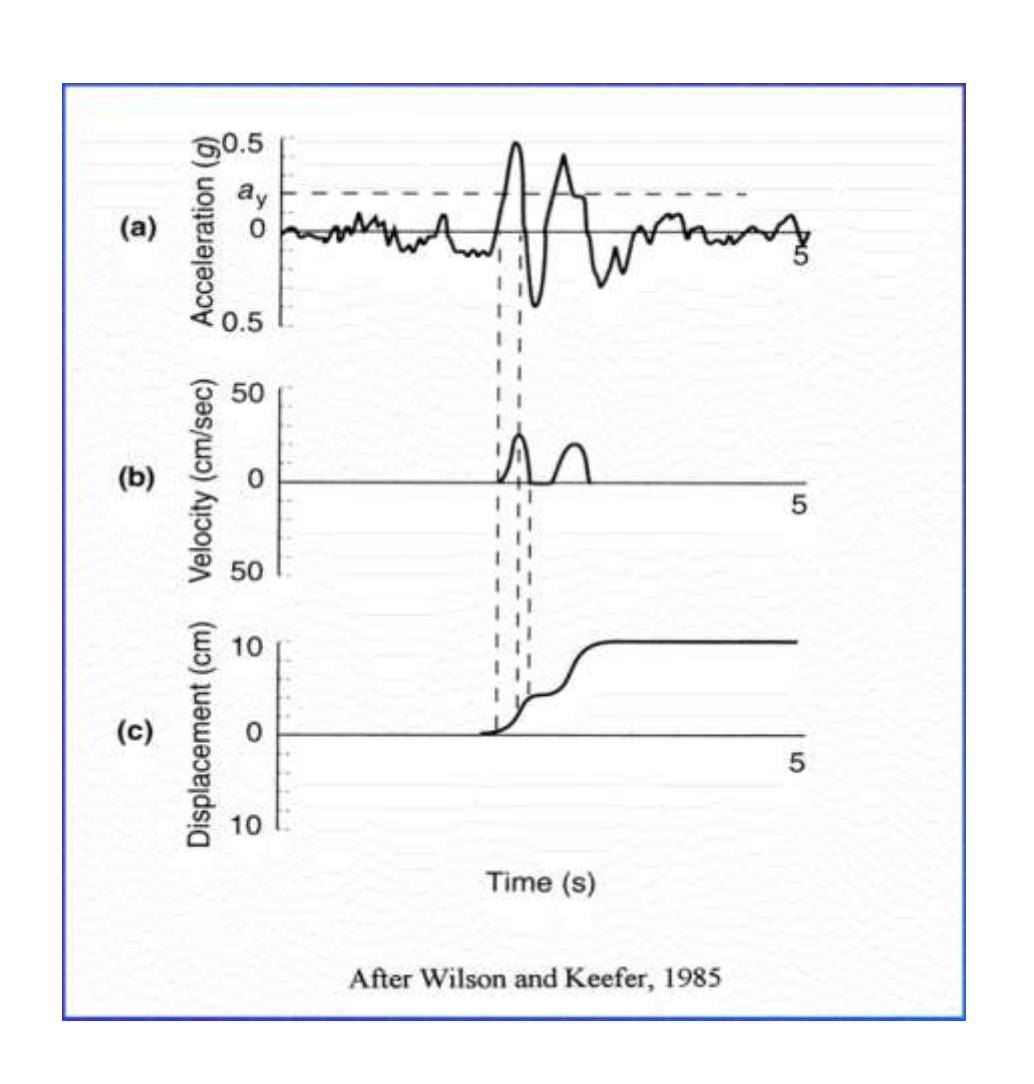
НЦКИТ

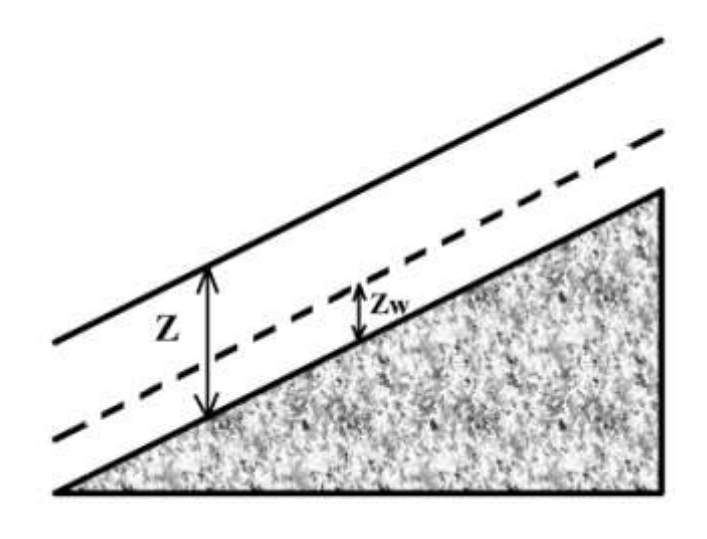
Алгоритм построения математической модели воздействия сейсмических процессов на формирование оползней и обвалов.





Определение косеймических смещений оползня по Ньюмарку





Критическое ускорение

$$A_c = (FS - 1)g \sin \propto$$

Неустойчивый склонFS < 1.0Критический склон $1.0 \le FS \le 1.5$ Высокая устойчивостьFS > 1.5



Фактор стабильности

$$FS = \frac{c'}{yz\cos\alpha\sin\alpha} + \left(1 - m\frac{y_w}{y}\right)\frac{tan\emptyset}{tan\alpha}$$

Критическое ускорение
$$A_c = \frac{\frac{c'}{\cos^2 \propto} + (y - my_w)ztan\varphi - yztan \propto}{yz + yztan \propto tan\varphi}$$

Суммарное смещение при сейсмическом воздействии

$$log D_n = \ -2.710 + log \left[(1 - \frac{A_c}{PGA})^{2.335} (\frac{A_c}{PGA})^{-1.478} \right] - 0.424 M_s$$

$$log D_n = 0.802 log PGV - 10.981 A_c + 7.377 A_c log PGV + 1.914$$

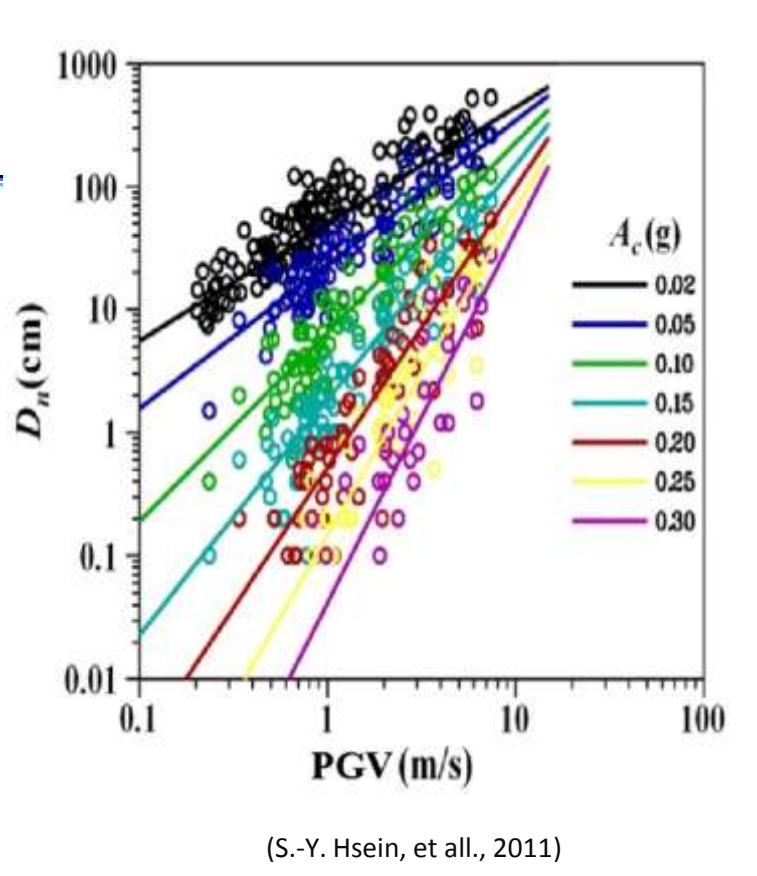
Для Северного Тянь-Шаня:

Модель затухания пиковых ускорений (ис, 2011)

$$lnPGA = 2.6 + 0.87M_s - 0.85lnR - 0.0055R + \begin{pmatrix} -0.30 & 1\\ 1 & 0\\ 0.30 & 1 \end{pmatrix}$$

Модель затухания пиковых скоростей (ис, 2011)

$$lnPGV = -3.1 + 1.4M_s - 0.90lnR - 0.045R + \begin{pmatrix} -0.35 & 1\\ 1 & 0\\ 0.2 & 1 \end{pmatrix}$$

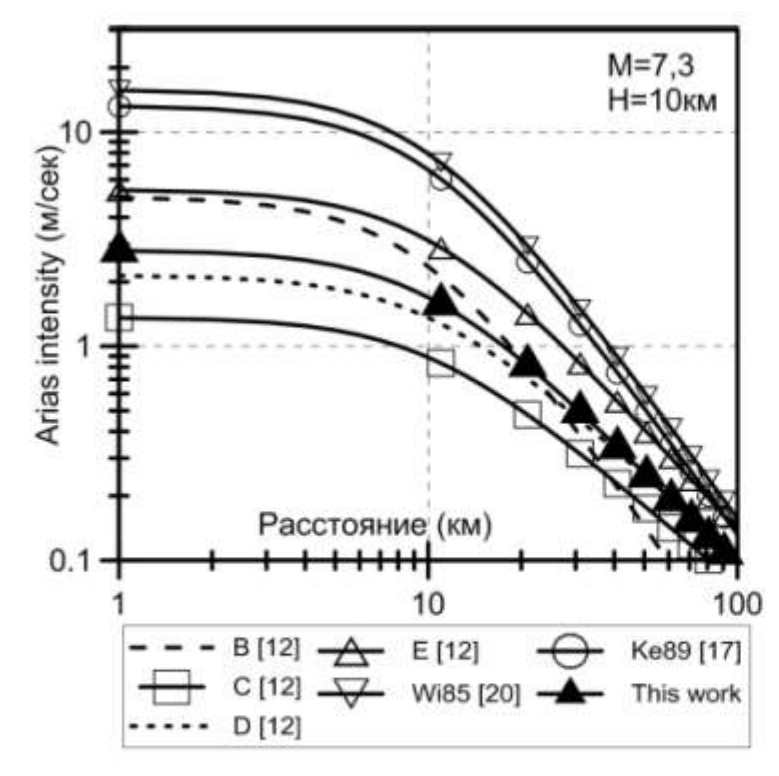




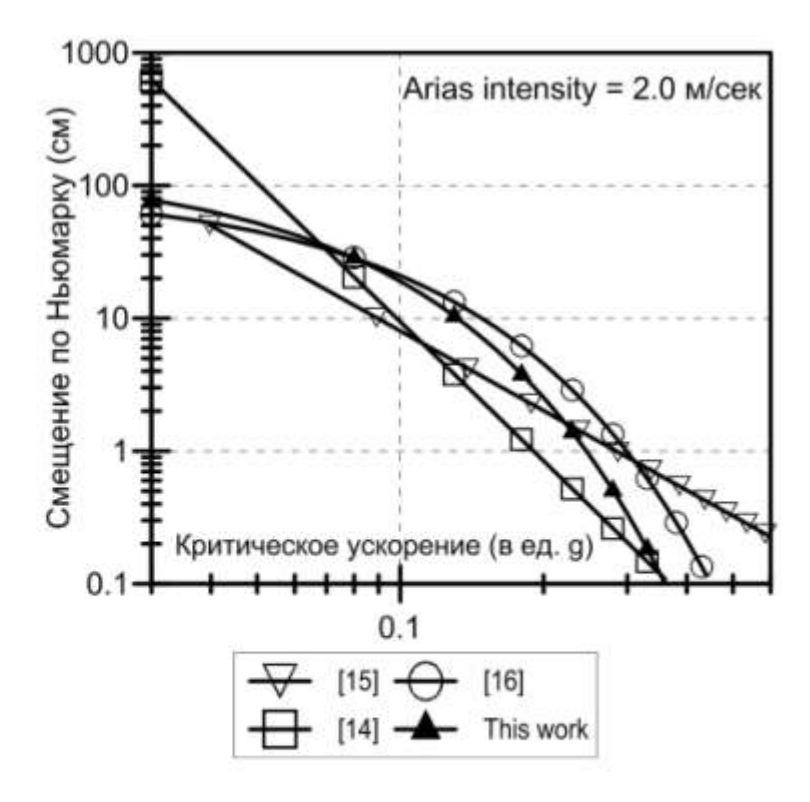
Суммарное смещение при сейсмическом воздействии

$$log D_n = 0.802 log I_a - 10.981 A_c + 7.377 A_c log Ia + 1.914 \ \pm 0.274$$

Корреляционная зависимость la от магнитуды землетрясения и расстояния ln(la)= 2.056Mw- 1,475ln(R)-10.577 ±1.335



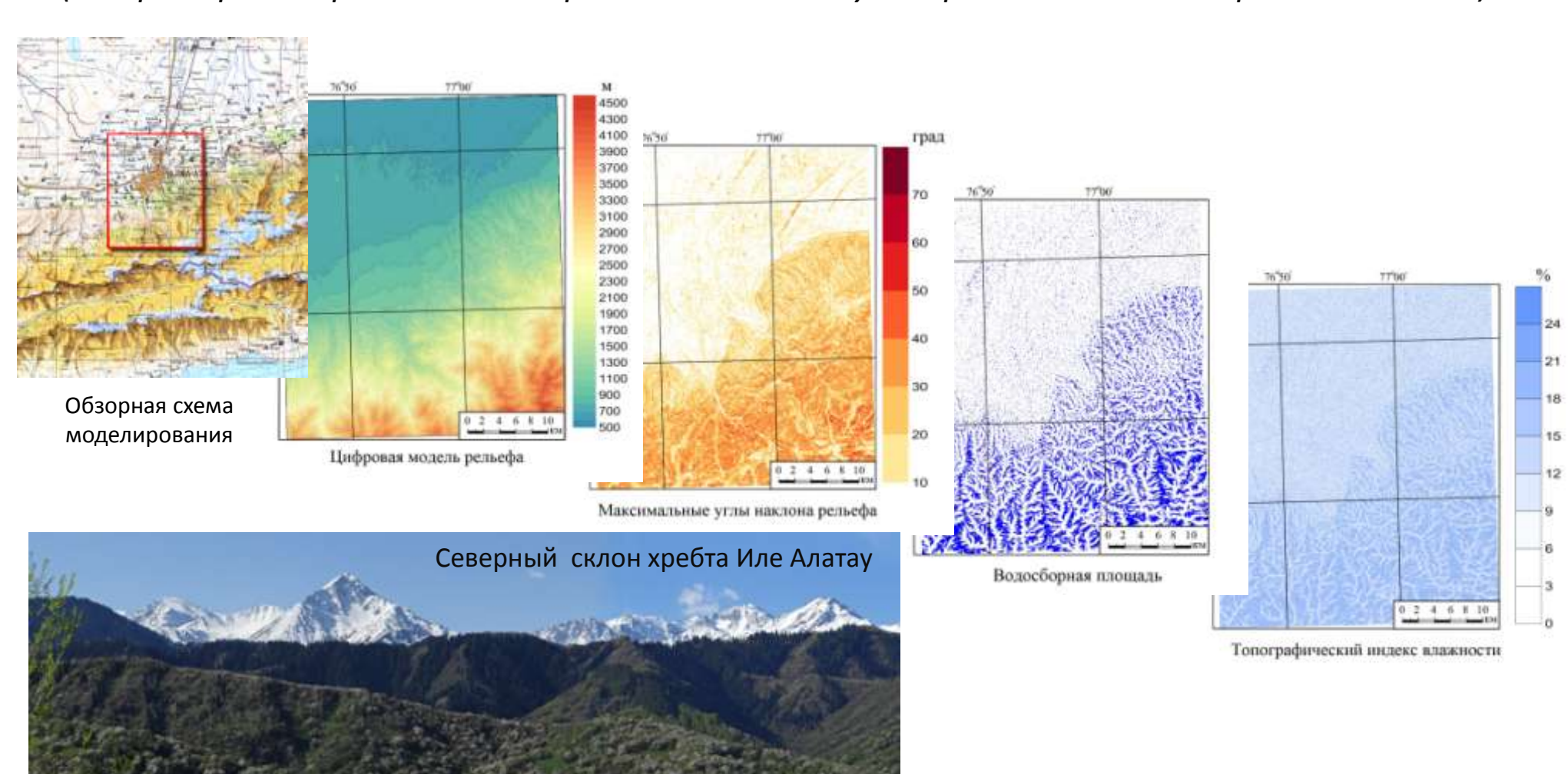
Сравнение модельных кривых затухания Ia по разным источникам от расстояния для сценарного землетрясения магнитудой 7,3 с центром на глубине 10 км.



Сравнение модельных кривых зависимости сейсмогенного смещения Dn по разным источникам от критического ускорения Ас

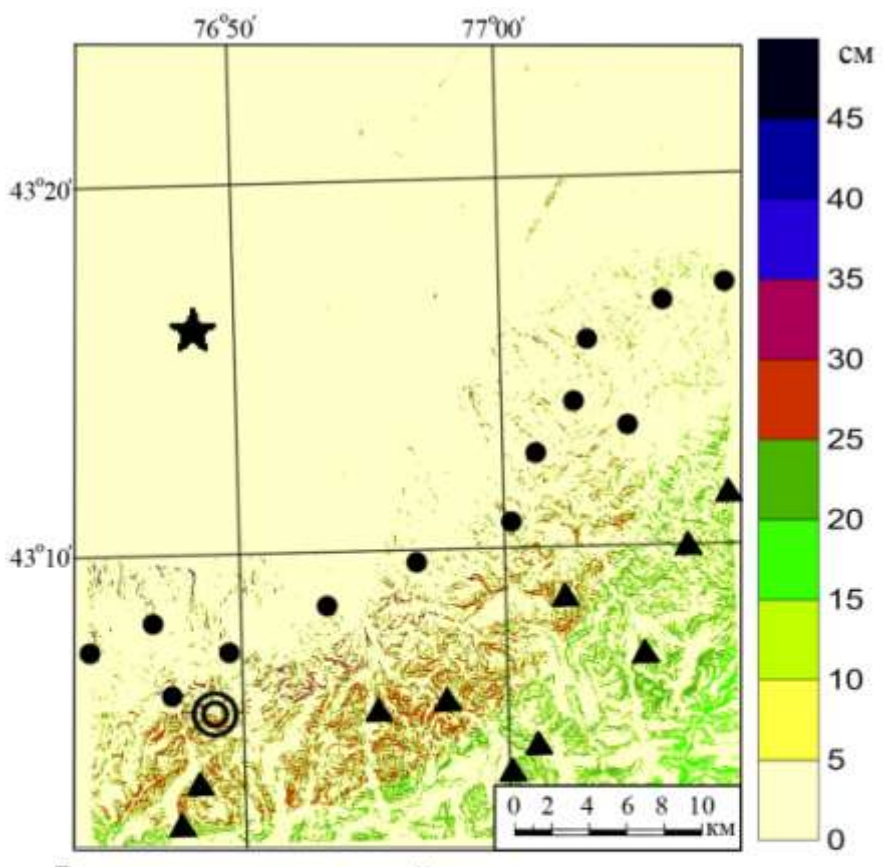


Модель воздействия сейсмических процессов на формирование оползней и обвалов (на примере северного склона хребта Иле Алатау и Верненского землетрясения 1887 г.)





Распределение модельных косейсмических смещений на склоне Иле Алатау при Верненском землетрясении 1887 г.



Расчетные значения сейсмического смещения Dn (см) для Верненского землетрясения.

- сейсмогенные оползни-потоки в лессовых грунтах
- сейсмогенные оползни-обвалы скальных грунтов
- ★ эпицентр землетрясения, M=7.3, H=10км
- Акжарский обвал



Акжарский обвал

Склон неустойчив Опасность высокая Критическое состояние Экспертная оценка

Склон устойчив Опасности нет

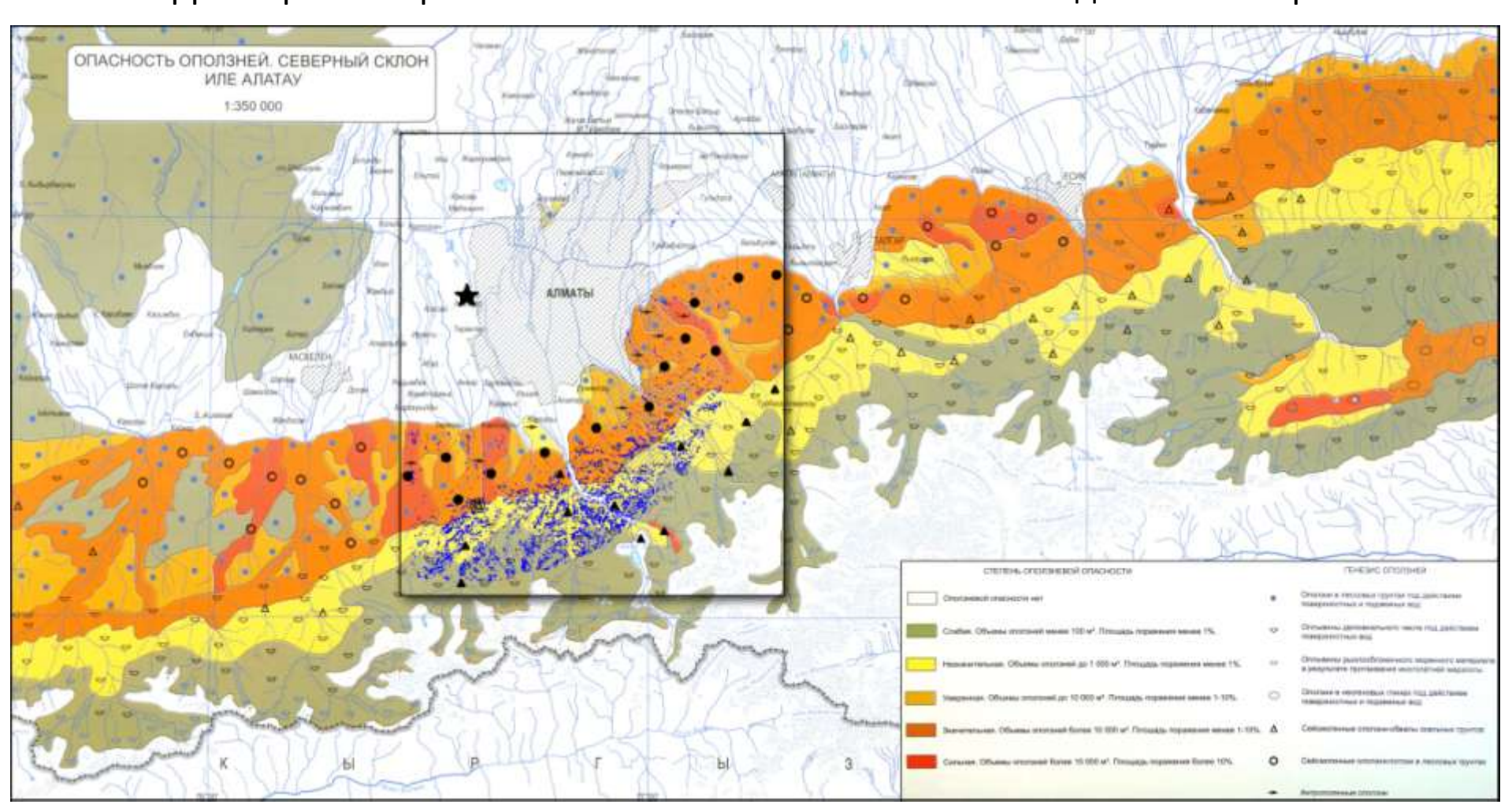
$$D_n \geq 30 \ cm$$

$$10 \ cm \le D_n < 30 \ cm$$

$$D_n < 10 \ cm$$



Корректировка карты оползневой опасности на основе модельных построений





ПРЕИМУЩЕСТВА:

- ВЫСОКАЯ ДЕТАЛИЗАЦИЯ НА ОСНОВЕ ЦИФРОВОЙ МОДЕЛИ РЕЛЬЕФА
- МОДЕЛИРОВАНИЕ СЕЙСМОГЕННЫХ ОПОЛЗНЕЙ ОТ СИЛЬНЫХ ЗЕМЛЕТРЯСЕНИЙ

НЕДОСТАТКИ:

- ДЕТЕРМИНИСТКИЙ ХАРАКТЕР МОДЕЛИ
- МОДЕЛИРОВАНИЕ ИСКЛЮЧИТЕЛЬНО СЕЙСМОГЕННЫХ ОПОЛЗНЕЙ

ЧТО ДЕЛАТЬ:

- ПРИМЕНЕНИЕ РАДАРНОЙ ИНТЕРФЕРОМЕТРИЧЕСКОЙ СЬЕМКИ
- ПОЛЕВЫЕ ИНЖЕНЕРНО-ТЕХНИЧЕСКИЕ РАБОТЫ НА КОНКРЕТНЫХ УЧАСТКАХ
- ДЕТАЛЬНОЕ ИЗУЧЕНИЕ СЕЙСМИЧЕСКИХ ФАКТОРОВ



Благодарю за внимание!